# Elettromagnetismo

Prof. Francesco Ragusa Università degli Studi di Milano

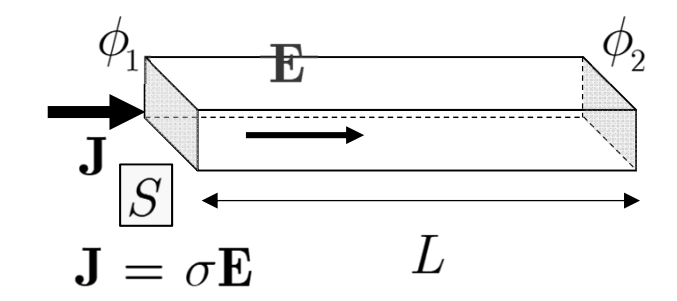
Lezione n. 18 - 15.12.2022

Conduzione elettrica - Legge di Ohm Teoria del potenziale in materiali ohmici Il campo elettrico all'esterno di un filo conduttore Modello microscopico della conduzione elettrica

Anno Accademico 2022/2023

### Resistenza di un resistore

- Per passare alla corrente e alla tensione occorre calcolare
  - L'integrale di J su una superficie
  - L'integrale di E lungo una linea
- Consideriamo ad esempio un conduttore semplice



• Calcoliamo la differenza di potenziale fra i suoi elettrodi

$$\phi_2 = \phi_1 - \int_0^L \mathbf{E} \cdot d\mathbf{l} = \phi_1 - EL$$

$$\phi_1 - \phi_2 = EL \equiv V \implies E = \frac{V}{L}$$

- La differenza di potenziale è la stessa per qualunque cammino che unisce i due elettrodi
- Calcoliamo la corrente che fluisce nel conduttore
  - Flusso di J attraverso la superficie dell'elettrodo

$$I = \int_{S} \mathbf{J} \cdot \hat{\mathbf{n}} da = \int_{S} \sigma \mathbf{E} \cdot \hat{\mathbf{n}} da = \sigma ES = \sigma \frac{V}{L} S \longrightarrow V = \frac{L}{\sigma S} I$$

### Resistenza di un resistore

• Ricordiamo la definizione della resistenza del conduttore

$$R = \frac{V}{I} = \frac{L}{\sigma S} \qquad \boxed{V = RI}$$
  $\bullet$  Si usa spesso la resistività 
$$\rho = \frac{1}{-}$$

$$\rho = \frac{1}{\sigma}$$

Ovviamente, utilizzando la resistività

$$R = \rho \frac{L}{S}$$

- La resistività si misura in ohm-m
- La resistenza si misura in ohm  $(\Omega)$

• Multipli dell'ohm 
$$1~\Omega~-~10^3~K\Omega~-~10^6~M\Omega$$

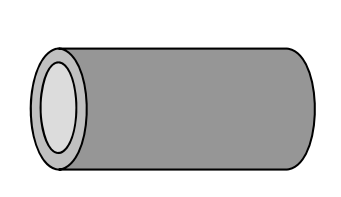
- Attenzione: abbiamo utilizzato un resistore con una geometria molto semplice
  - Elettrodi piani e paralleli
  - ullet Nel caso studiato, all'intero del conduttore, il campo  ${f E}$  è uniforme

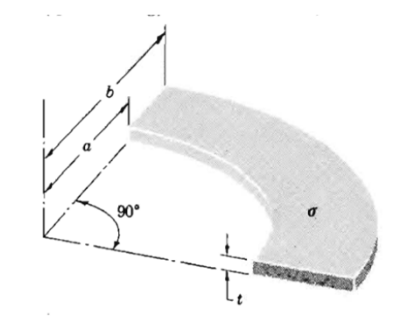
## Resistenza di sistemi più complessi

- Il resistore che abbiamo utilizzato era semplice
  - Sono altrettanto semplici

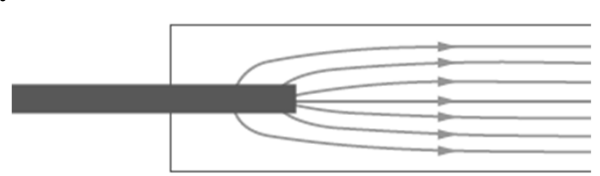


• Semplici su opportuni elettrodi





• Se l'elettrodo è puntiforme può diventare complesso



- In questi casi si può approssimare
- Se è necessario un calcolo esatto
  - ullet Si risolve il problema elettrostatico trovando  ${f E}, {f J} = \!\! \sigma {f E}$
  - ullet Si calcola la differenza di potenziale V fra gli elettrodi

$$V = \int_a^b \mathbf{E} \cdot d\mathbf{l}$$

ullet Si calcola la corrente I che entra negli elettrodi

$$I = \int_{S} \mathbf{J} \cdot \hat{\mathbf{n}} da$$

• La resistenza è  $R = rac{V}{I}$ 

## Esempio

- Come esempio, calcoliamo la resistenza di un cilindro cavo
  - ullet I raggi sono a < b, l'altezza h, la conduttività  $\sigma$
  - Gli elettrodi (neri) sono conduttori ideali (equipotenziali)
  - Il problema ha simmetria azimutale
  - La soluzione generale è ancora

$$\phi(r,z) = (A + B \ln r)(e + fz)$$





$$\mathbf{J} = \sigma \mathbf{E}$$
  $E_n = \frac{J_n}{\sigma} = 0$   $\frac{\partial \phi}{\partial n} = 0$ 

• b) Superfici laterali

$$\phi(a,z) = V_0 \qquad \phi(b,z) = 0$$

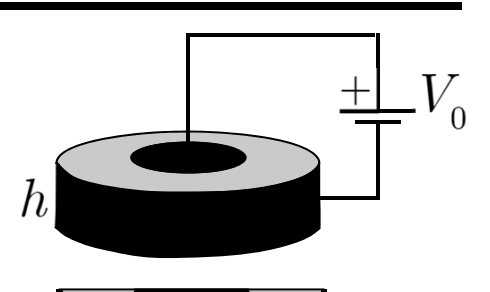
- Abbiamo pertanto
  - a)

$$\frac{\partial \phi}{\partial n} = \frac{\partial \phi}{\partial z} = f(A + B \ln r) \qquad \qquad \boxed{f = 0 \qquad e = 1}$$

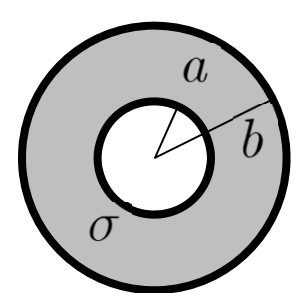


$$f = 0 \qquad e = 1$$

• Per finire, applichiamo la seconda e la terza condizione







## Esempio

• Pertanto il potenziale e il campo elettrico sono

$$\phi(r,z) = \frac{V_0}{\ln \frac{a}{b}} \ln \frac{r}{b}$$

$$\mathbf{E} = -\nabla \phi = -\frac{\partial \phi}{\partial r} \hat{\mathbf{e}}_r = -\frac{V_0}{\ln \frac{a}{b}} \frac{1}{r} \hat{\mathbf{e}}_r = \frac{V_0}{\ln \frac{b}{a}} \frac{1}{r} \hat{\mathbf{e}}_r$$

$$\mathbf{E}(r) = \frac{V_0}{\ln \frac{a}{b}} \hat{\mathbf{e}}_r$$

$$\mathbf{E}(r) = \frac{V_0}{\ln \frac{b}{a}} \frac{1}{r} \hat{\mathbf{e}}_r$$

• Possiamo calcolare la densità di corrente

$$\mathbf{J} = \sigma \mathbf{E} = \sigma \frac{V_0}{\ln \frac{b}{a}} \frac{1}{r} \hat{\mathbf{e}}_r \qquad I = \int_S \mathbf{J} \cdot d\mathbf{a} = J(a) 2\pi a h = \sigma \frac{V_0}{\ln \frac{b}{a}} \frac{1}{a} 2\pi a h = \sigma \frac{V_0}{\ln \frac{b}{a}} 2\pi h$$

• E per finire la resistenza

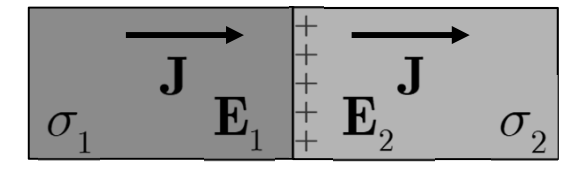
$$R = \frac{V_0}{I} = \frac{1}{2\pi\sigma h} \ln \frac{b}{a}$$

## Conduttività non omogenea

- ullet Abbiamo fin qui supposto che  $\sigma$  sia costante e che il mezzo sia omogeneo, caratterizzato da un'unica conduttività
  - Sappiamo che in condizioni di stazionarietà questo implica che non ci sono densità di carica nel materiale
    - densita di carica nel materiale Infatti, in condizioni stazionarie Dato che  $\mathbf{J} = \sigma \mathbf{E}$   $\nabla \cdot \mathbf{J} = \nabla \cdot \sigma \mathbf{E} = \frac{\sigma}{100} \nabla \cdot \mathbf{D} \implies \nabla \cdot \mathbf{D} = 0 \implies \rho = 0$
  - ullet Dato che  $J=\sigma E$

$$\nabla \cdot \mathbf{J} = \nabla \cdot \sigma \mathbf{E} = \frac{\sigma}{\kappa \varepsilon_0} \nabla \cdot \mathbf{D} \quad \longrightarrow \quad \nabla \cdot \mathbf{D} = 0 \quad \longrightarrow \quad \rho = 0$$

- ullet Viceversa se  $\sigma$  varia ci sono densità di carica
- Ad esempio consideriamo due conduttori di conduttività diversa  $\sigma_1 > \sigma_2$ 
  - NB: in queste diapositive  $\sigma$  è la conduttività
  - In condizioni stazionarie J deve essere lo stesso in entrambi i mezzi
    - In caso contrario ci sarebbe accumulo di carica in funzione del tempo sull'interfaccia



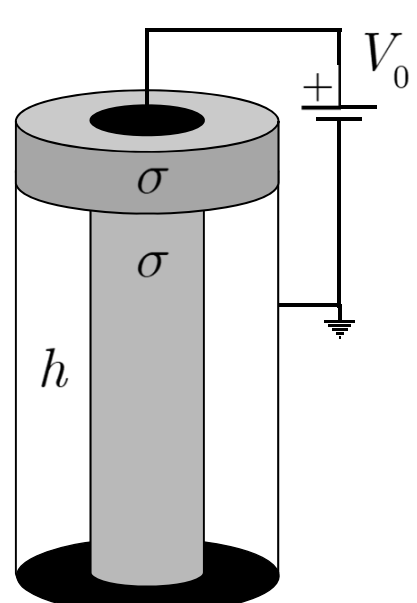
$$\sigma_1 \mathbf{E}_1 = \sigma_2 \mathbf{E}_2$$

- ullet Significa che i campi elettrici  ${f E}_1$  e  ${f E}_2$  sono diversi:  $E_1 < E_2$
- Il campo ha una discontinuità sull'interfaccia
  - Sull'interfaccia ci deve essere una densità di carica

- Vediamo adesso che all'esterno di un conduttore in cui scorre corrente è presente un campo elettrico
  - Il problema è tuttavia complicato perché la corrente deve richiudersi su se stessa<sup>†</sup>
    - ullet In regime stazionario  $abla {
      m J} = 0$  (le linee del campo  ${
      m J}$  devono essere chiuse)
    - C'è una forza elettromotrice
- ullet Riprendiamo il cilindro di altezza h e raggio a
  - Definiamo con esattezza il cammino della corrente
    - ullet Il cilindro centrale ha conduttività  $\sigma$
    - È collegato a due elettrodi (neri,  $\sigma=\infty$ ): un cilindro di raggio a altezza d e un disco di raggio b
    - In alto un cilindro cavo di raggi a e b, altezza d e conduttività  $\sigma$  (uguale al cilindro interno)
    - ullet All'esterno un cilindro cavo di raggio b e conduttività infinita (conduttore ideale)
  - ullet E presente una batteria (forza elettromotrice) che mantiene una differenza di potenziale  $V_0$  ai suoi capi
    - ullet I conduttori ideali sono tutti allo stesso potenziale (0 oppure  $V_0)$



<sup>•</sup> Haus H., Melcher J. – Electromagnetic Fields and Eergy – MIT OCW - https://web.mit.edu/6.013 book/www/book.html



- Il dominio è suddiviso in tre regioni
  - Abbiamo già risolto il problema nelle regioni 1 e 2

$$\phi_{\scriptscriptstyle 1}(z) = V_{\scriptscriptstyle 0} \, rac{z}{h}$$

$$\phi_1(z) = V_0 \frac{z}{h} \qquad \qquad \phi_2(r, z) = \frac{V_0}{\ln \frac{a}{b}} \ln \frac{r}{b}$$

- ullet Nella regione 3 le condizioni al contorno per  $\phi_3$  sono
  - ullet Potenziale nullo sulla superficie a r=b e sulla base z=0

$$\phi_3(b,z) = 0$$
  $\phi_3(r,0) = 0$ 

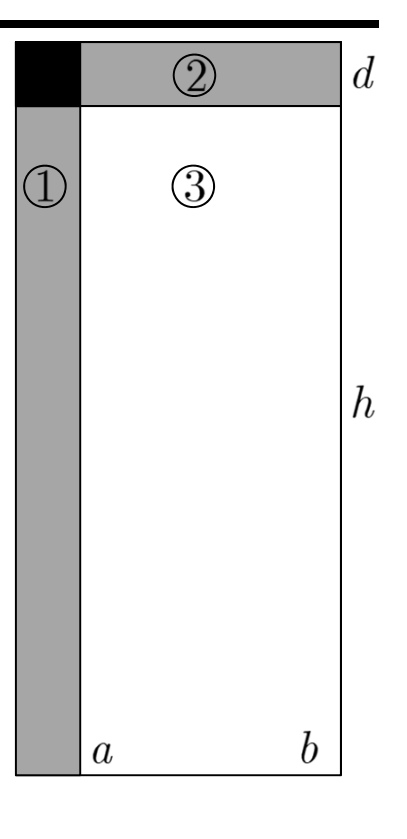
ullet Continuità di  $\phi$  alle interfacce 1-3 (r=a) e 2-3 (z=h)

$$\boxed{\phi_3(a,z) = \phi_1(a,z) = V_0 \frac{z}{h}} \qquad \phi_3(r,h) = \phi_2(r,h) = \frac{V_0}{\ln \frac{a}{h}} \ln \frac{r}{b}$$

- ullet Vedremo che la continuità  $2-3\;(z=h)$  è automatica
- ullet Come nelle regioni 1 e 2, nella regione 3 la soluzione generale  $\dot{ullet}$

$$\phi_3(r,z) = (A + B \ln r)(e + fz)$$

• Imponiamo le condizioni al contorno per trovare le costanti



$$\phi_3(r,z) = (A + B \ln r)(e + fz)$$

ullet Potenziale nullo per r=b

$$\phi_3(b,z) = 0 = (A + B \ln b)(e + fz)$$
  $A = -B \ln b$ 

ullet Potenziale nullo per z=0

$$\phi_3(r,0) = (A + B \ln r)e = 0$$
  $e = 0$ 

• Il potenziale si è ridotto a

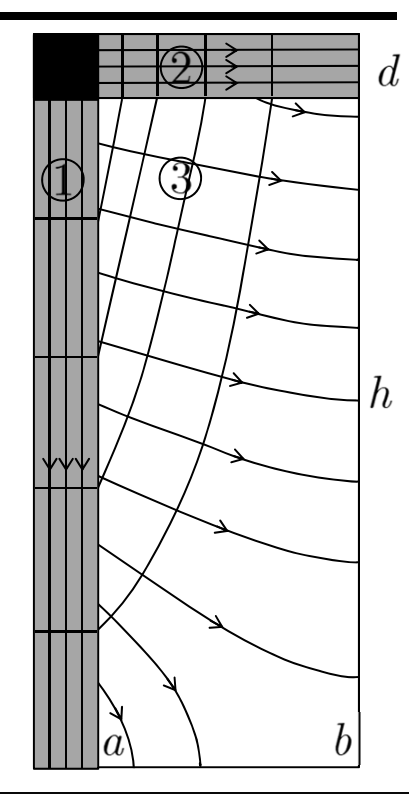
$$\phi_3(r,z) = fzB\ln\frac{r}{b} \equiv Bz\ln\frac{r}{b}$$

• Continuità all'interfaccia 1-3

$$\phi_3(a,z) = Bz \ln \frac{a}{b} = V_0 \frac{z}{h}$$

$$B = \frac{V_0}{h \ln \frac{a}{b}}$$

$$\phi_3(a,z) = Bz \ln \frac{a}{b} = V_0 \frac{z}{h} \qquad B = \frac{V_0}{h \ln \frac{a}{b}} \qquad \phi_3(r,z) = -\frac{V_0}{\ln \frac{b}{a}} \ln \frac{r}{b}$$



Verifica automaticamente la condizione all'interfaccia 2-3

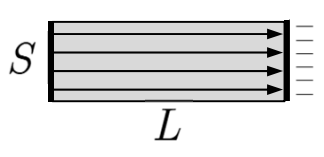
• Il campo elettrico nella regione 3 è

$$\left|\mathbf{E}_{3} = -\boldsymbol{\nabla}\phi_{3} = \frac{V_{0}}{\ln\frac{b}{a}} \left[ \frac{z}{h} \frac{1}{r} \hat{\mathbf{e}}_{r} + \frac{1}{h} \ln\frac{r}{b} \hat{\mathbf{e}}_{z} \right] \right|$$

• Osserviamo che sulle superfici dei conduttori ohmici appare una densità di carica superficiale

$$\sigma_1(z) = \varepsilon_0 E_{1r} = \frac{\varepsilon_0 V_0}{\ln \frac{b}{a}} \frac{z}{ha} \qquad \sigma_2(r) = \varepsilon_0 E_{2z} = \frac{\varepsilon_0 V_0}{h \ln \frac{b}{a}} \ln \frac{r}{b}$$

- La densità di carica superficiale permette alla corrente di "seguire" la forma del filo
- Vediamo come e stimiamo la carica
- Consideriamo un tratto di S filo prima della curva

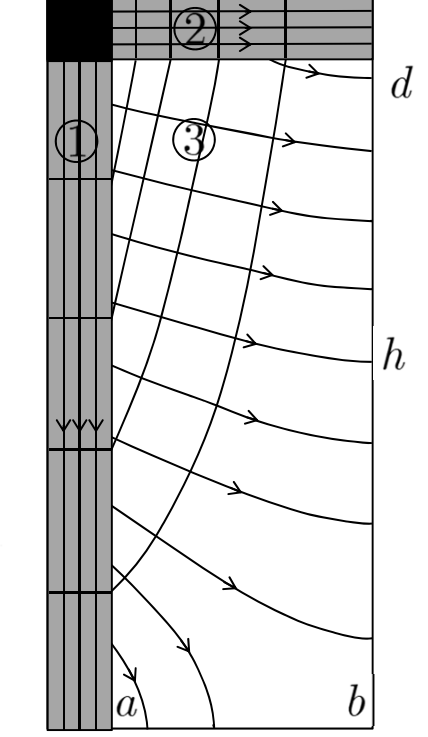






$$Q = \eta S = -\frac{\varepsilon_0 V_0}{L} S = -\frac{\sigma}{\sigma} \frac{\varepsilon_0 V_0}{L} S = -\frac{\varepsilon_0 V_0}{R \sigma} \qquad \left| Q_- = -\frac{\varepsilon_0 I}{\sigma} \right|$$



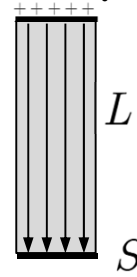


$$R = \frac{L}{\sigma S}$$

## Carica superficiale del filo

Analogamente per il tratto dopo la curva

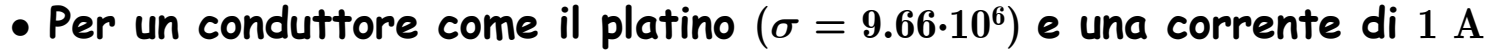
$$\boxed{Q_{+} = \frac{\varepsilon_{0}I}{\sigma}}$$



- Consideriamo adesso il filo completo
  - Consideriamo i campi prima e dopo la curva
  - Supponiamo che siano presenti le cariche superficiali calcolate prima

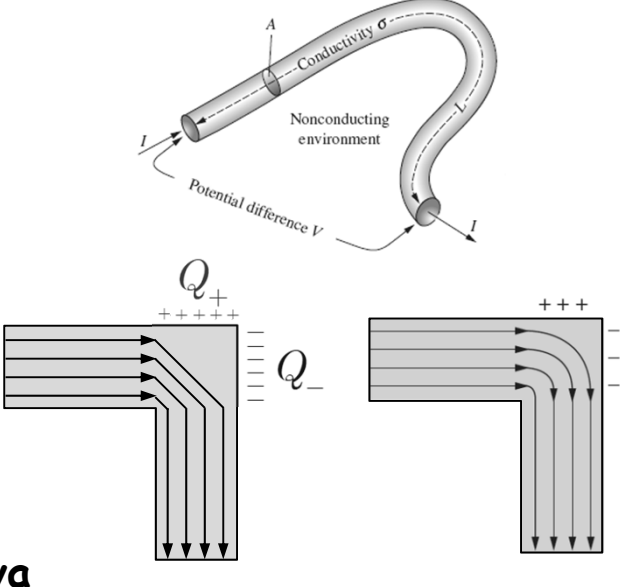






$$|Q_{\pm}| = \frac{\varepsilon_0 I}{\sigma} = \frac{8.85 \cdot 10^{-12} \cdot 1}{9.66 \cdot 10^6} = 9.16 \cdot 10^{-19}$$

• È equivalente alla carica di qualche elettrone!



### Velocità di deriva

• Nella diapositiva 362 abbiamo definito la densità di corrente come

$$\mathbf{J} = -en_e \overline{\mathbf{u}}$$

- ullet La velocità  $\overline{f u}$  è definita come il valor medio delle velocità degli elettroni
  - Non abbiamo discusso le caratteristiche di questa velocità
- Stimiamo il valore della velocità di deriva con un esempio
  - ullet Un filo di rame lungo  $1~\mathrm{Km}$  è collegato ad un generatore di tensione di  $6~\mathrm{V}$ 
    - Calcolare la velocità di deriva in queste condizioni
    - Quanto tempo impiega un elettrone per percorrere tutto il filo?

• Dati: 
$$ho = 1.7 imes 10^{-8} \; \Omega - \mathrm{m}$$
  $n_e = 8.0 imes 10^{28} \; \mathrm{m}^{-3}$   $e = 1.6 imes 10^{-19} \; \mathrm{C}$ 

$$n_e = 8.0 \times 10^{28} \; \mathrm{m}^{-3}$$

$$e = 1.6 \times 10^{-19} \text{ C}$$

$$\bullet$$
 Determiniamo  $J$  
$$J = \sigma E = \frac{1}{\rho} E \ = \frac{1}{\rho} \frac{V}{L}$$

$$\bullet$$
 Utilizzando la definizione di  $J$  determiniamo 
$$\overline{u} = \frac{J}{en_e} = \frac{V}{en_e \rho L}$$

• Introduciamo i valori numerici

$$\overline{u} = \frac{6}{1.6 \times 10^{-19} \times 8 \times 10^{28} \times 1.7 \times 10^{-8} \times 10^{3}} = 2.8 \times 10^{-5} \text{ m/s}$$

### Velocità di deriva

- Rendiamoci conto di cosa vuol dire questo ordine di grandezza
  - Per percorre il filo lungo 1 Km occorre un tempo

$$\Delta t = \frac{L}{\overline{u}} = \frac{1000}{2.8 \times 10^{-5}} = 3.57 \times 10^7 \, \mathrm{s}$$
 Un po' più di un anno !!

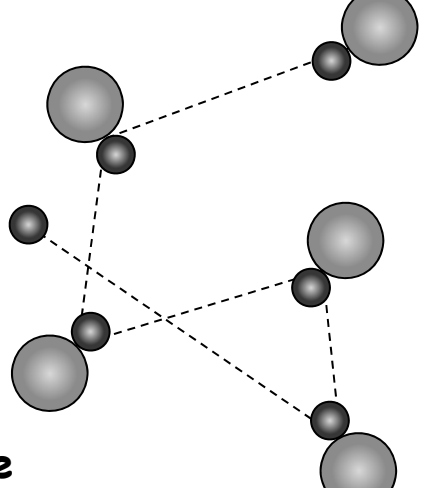
- ullet La termodinamica ci dice che gli atomi e le molecole della materia a temperatura T non sono fermi
  - Hanno un moto caotico
    - Ad esempio in un gas o nel caso degli elettroni in un conduttore
  - ullet Il moto è caratterizzato da un'energia cinetica media dell'ordine di  $k_BT$ 
    - ullet  $k_B=1.38{ imes}10^{-23}~
      m JK^{-1}$  costante di Boltzmann
    - T temperatura assoluta in gradi Kelvin
      - 300 K la temperatura ambiente
    - $\bullet$  Le velocità delle molecole corrispondenti a questa energia sono dell'ordine di  $10^5~\rm m/s$
  - Vediamo pertanto che la velocità di deriva è molto più piccola della velocità istantanea degli elettroni

- Abbiamo già visto che per avere conduzione è necessario avere portatori di carica elettrica liberi di muoversi nella materia
  - Ioni, vale a dire atomi o molecole che hanno perso almeno un elettrone
  - Elettroni liberi
- Normalmente il numero di ioni/elettroni liberi è molto piccolo
  - ullet Nell'acqua pura la molecola  $H_2O$  si dissocia in  $H^+$   $OH^$ 
    - ullet In condizioni normali ci sono circa  $6 imes 10^{13}~
      m ioni/cm^3$ 
      - pH = 7 pari a  $10^{-7}$  moli/litro =  $10^{-10}$  moli/cm<sup>3</sup> e 1 mole =  $6 \times 10^{23}$
  - Gli ioni/elettroni presenti nell'acqua pura sono responsabili della conduttività dell'acqua
    - ullet Per l'acqua pura la conduttività è  $\sigma = 4 imes 10^{-6} \; ( ext{ohm-m})^{-1}$
  - Sciogliere un sale nell'acqua aumenta il numero di ioni
    - ullet Ad esempio aggiungendo m NaCl si arriva a circa  $m 10^{20}~ioni/cm^3~(Na^+~Cl^-)$
  - ullet In un conduttore come il rame ci sono circa  $8 imes10^{22}~e/{
    m cm}^3$  (vedi diapositiva 148)
  - In un gas ci sono pochissimi ioni, virtualmente zero
    - Una piccola concentrazione di ioni è dovuta alla radioattività naturale

- ullet Consideriamo adesso un gas che contiene ioni liberi di massa m
  - ullet Supponiamo che la densità sia dell'ordine di  $10^{25}~
    m atomi/m^3$
  - Gli ioni si muovono liberamente all'interno della sostanza
    - Nelle condizioni di densità date la distanza media fra due molecole è dell'ordine di  $10^{-8}$  m pari a un centinaio di raggi molecolari  $(10^{-10}$  m)
  - Nel loro moto caotico urtano con le molecole
    - Sono troppo pochi per urtare fra di loro
  - ullet Chiamiamo  $l_k$  la distanza percorsa fra l'urto k e  $k\!+\!1$ 
    - ullet Naturalmente le distanze  $l_k$  sono tutte diverse
  - ullet Si definisce libero cammino medio  $\lambda$

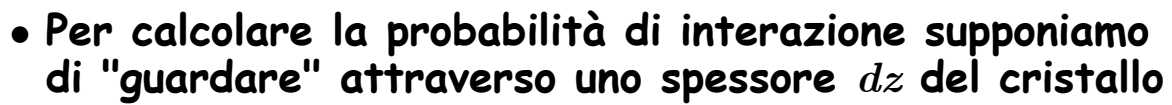
$$\lambda = rac{1}{N} \sum_{k=1}^{N} l_k$$

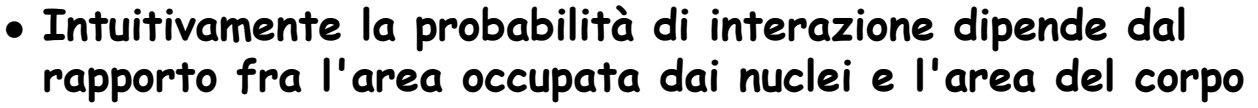
- Il libero cammino medio dipende dalla natura del gas e dalle sue condizioni termodinamiche (temperatura, densità ...)
- ullet Il libero cammino medio di uno ione può essere dell'ordine di  $10^{-7}~\mathrm{m}$ 
  - Molto maggiore della distanza media fra molecole
- Abbiamo definito il libero cammino medio seguendo il moto di un singolo ione
  - Avremmo potuto definire una media a un dato istante su tutti gli ioni



### Sezione d'urto

- Vogliamo adesso definire e calcolare la probabilità di un urto
  - Supponiamo che un elettrone si muova all'interno di un reticolo di ioni del metallo
    - ullet Descriviamo gli elettroni come sfere rigide di raggio  $r_1$  e gli ioni come sfere rigide di raggio  $r_2$
  - ullet Avviene un urto se la distanza d fra i centri delle sfere è inferiore alla somma dei raggi



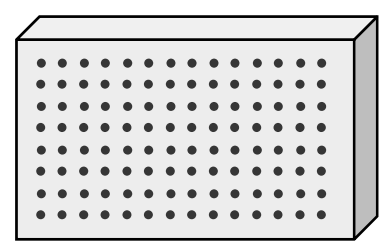


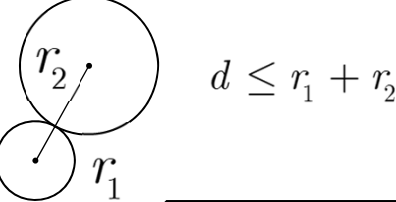
- Bisognerebbe tenere conto della dimensione dell'elettrone
- $\bullet$  Lo facciamo assumendo l'elettrone puntiforme e il raggio del nucleo uguale a  $r_1+\,r_2=R$
- ullet Supponiamo che il corpo abbia un'area S, uno spessore dz e che i suoi dati atomici siano numero di massa A e densità ho

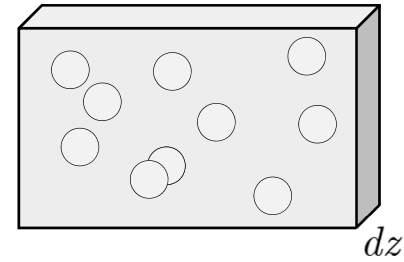
$$ullet$$
 In numero di bersagli nel volume  $Sdz$   $ullet$ 

$$\rho_B = \frac{\rho}{4} N_A$$

$$n_B = \rho_B S dz = \frac{\rho}{A} N_A S dz$$

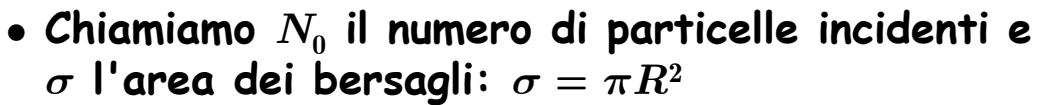






### Sezione d'urto

- Consideriamo adesso
  - Un bersaglio di spessore dz e densità  $\rho_B=rac{
    ho}{A}N_A$  (bersagli per unità di volume)
  - ullet Un fascio di particelle di area S
    - ullet L'area del corpo in cui può avvenire l'interazione è solo S





- ullet La frazione f è proprio la probabilità che cerchiamo
  - ullet Il numero di particelle che interagiscono è  $dn=fN_0=N_0rac{
    ho}{4}N_A\sigma dz$
- ullet L'area  $\sigma$  prende il nome di sezione d'urto
  - Lo stesso concetto può essere utilizzato anche quando proiettile e bersaglio non si toccano
  - L'interazione avviene tramite un campo
    - Elettrico, gravitazionale ...
  - $\bullet$  La teoria del campo permette di calcolare la probabilità di interazione che permette di definire la sezione d'urto  $\sigma$
- ullet La sezione d'urto è un'area e si misura in  $\mathbf{m}^2$

$$[\sigma]$$
 =  $L^2$  Unità di misura barn

$$1 \text{ barn} = 10^{-24} \text{ cm}^2$$

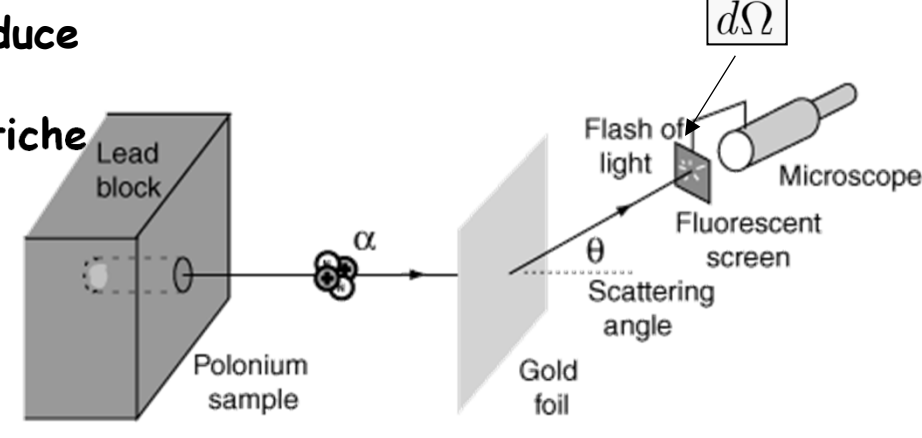
dz

### Sezione d'urto differenziale

• La sezione d'urto differenziale si introduce quando si vuole studiare la dipendenza della sezione d'urto da variabili cinematiche Lead

• Nel caso più semplice dagli angoli

• Se invece di considerare tutte le interazioni si considerano solo quelle che producono una particella nello stato finale in un angolo solido  $d\,\Omega$ 



$$d\Omega = \frac{dS}{r^2}$$

$$d\Omega = \frac{dS}{r^2} \qquad dn \left(\theta, \phi\right) = N_o \rho_B dz \; \frac{d\sigma}{d\Omega} d\Omega \qquad d\Omega = d\phi \sin\theta d\theta$$

$$d\Omega = d\phi \sin\theta d\theta$$

- ullet L'unità di misura della sezione d'urto differenziale è barn per steradiante  $\mathrm{b/sr}$ 
  - La sezione d'urto differenziale e la sezione d'urto totale sono legate

$$\sigma = \int \frac{d\sigma}{d\Omega} d\Omega$$

ullet Spesso non c'è dipendenza da  $\phi$ 

$$d\Omega = 2\pi \sin\theta d\theta$$

$$dn(\theta) = N_o \rho_B dz \, \frac{d\sigma}{d\cos\theta} d\cos\theta$$

## Urto elastico di sfere

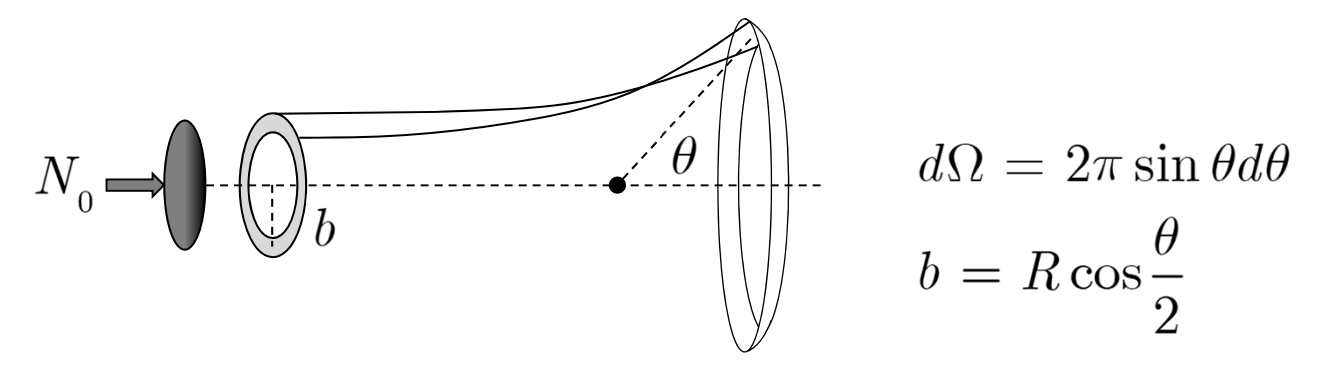
- Ritorniamo al problema degli urti degli elettroni con il reticolo
- Possiamo assumere che gli urti siano elastici
  - Nell'urto si conserva l'energia e la quantità di moto
- Schematizziamo le due particelle in collisione come sfere rigide
- Vogliamo calcolare la sezione d'urto differenziale
  - L'obiettivo è calcolare la distribuzione angolare degli elettroni dopo l'urto
  - ullet Consideriamo due sfere rigide di raggi  $r_{\scriptscriptstyle 1}$  e  $r_{\scriptscriptstyle 2}$ 
    - ullet La sfera di raggio  $r_{\scriptscriptstyle 1}$  si muove da sinistra verso destra
    - ullet La sfera di raggio  $r_2$  è ferma
  - ullet Definiamo il parametro d'impatto b
    - La distanza fra due rette parallele alla velocità e passanti per i centri
    - Consideriamo la normale alle sfere passante per il punto di contatto
    - L'angolo  $\alpha$  fra la normale e la direzione incidente è  $r_1$   $\theta=\pi-2\alpha$  uguale all'angolo  $\alpha$  fra la normale e la direzione deflessa
  - ullet Definiamo l'angolo di deflessione heta
  - ullet La relazione fra b e heta è univoca

$$\alpha + \alpha + \theta = \pi$$
  $\alpha = \frac{\pi}{2} - \frac{\theta}{2}$   $b = R \sin \alpha = R \cos \frac{\theta}{2}$ 

 $R = r_1 + r_2$ 

### Urto elastico di sfere

- ullet Per calcolare la sezione d'urto differenziale dell'urto fra due sfere rigide supponiamo che ci sia un flusso uniforme di particelle  $N_0$ 
  - Uniformemente distribuite su una superficie
    - ullet  $N_0=$  particelle per unità di superficie



- Consideriamo un centro diffusore
- ullet Consideriamo inoltre l'angolo solido  $d\Omega$  sotteso dall'anello di sfera centrato sul centro diffusore
- ullet Ci chiediamo quante particelle sono deflesse nell'angolo solido  $d\Omega$ 
  - L'angolo di deflessione dipende dal parametro di impatto
    - Le particelle diffuse nell'angolo solido  $d\Omega$  ad angolo  $\theta$  sono quelle che hanno parametro di impatto  $b(\theta)$
    - ullet Contenute nella corona circolare di raggio b

## Sezione d'urto differenziale

ullet Le particelle deflesse in  $d\Omega$  sono le stesse che attraversano la corona dS

$$dS = 2\pi b db \qquad dN = 2\pi b db N_0$$

• Per definizione di sezione d'urto

$$dN=N_{\scriptscriptstyle 0}\frac{d\sigma}{d\Omega}d\Omega \quad \text{uguagliando} \quad 2\pi b db N_{\scriptscriptstyle 0}=-N_{\scriptscriptstyle 0}\frac{d\sigma}{d\Omega}2\pi \sin\theta d\theta$$

ullet Il segno meno perché ad un d heta positivo corrisponde un db negativo

$$bdb = -\frac{d\sigma}{d\Omega}\sin\theta d\theta \qquad \frac{d\sigma}{d\Omega} = -\frac{b}{\sin\theta}\frac{db}{d\theta} \qquad \qquad b = R\cos\frac{\theta}{2}$$
 
$$\frac{d\sigma}{d\Omega} = \frac{-1}{\sin\theta}R\cos\frac{\theta}{2}\left(-R\frac{1}{2}\sin\frac{\theta}{2}\right) = \frac{1}{4}\frac{2\cos\frac{\theta}{2}\sin\frac{\theta}{2}}{\sin\theta}R^2 = \frac{R^2}{4}$$
 And the results are solved as the second of the results are discreted as the second of the results are solved as the second of the results are solv

- ullet Vediamo che la sezione d'urto non dipende da heta
- La particella ha una probabilità uniforme di essere stata deflesse in una direzione qualunque

La particella ha perso la memoria della direzione iniziale  $d\Omega = 2\pi \sin\theta d\theta$ 

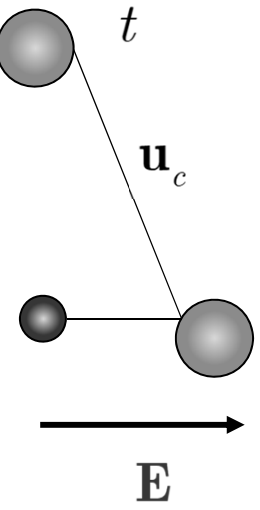
scattering center

- Assumiamo che gli ioni siano sfere rigide e che nell'urto elastico la particella incidente perda memoria della sua direzione iniziale
  - Nel caso più generale di un urto questo potrebbe essere non vero
    - Ad esempio se l'urto fosse mediato da un potenziale di Coulomb
  - Tuttavia la memoria della direzione iniziale viene persa rapidamente
  - ullet Una trattazione statistica degli urti mostrerebbe che esiste un tempo  $t_c$  dopo il quale la correlazione fra direzione iniziale e finale si perde
    - ullet In un tempo  $t_c$  ci possono essere tanti urti
  - ullet Naturalmente il tempo  $t_c$  dipende dallo ione, dalla sostanza, dalle condizioni termodinamiche
- $\bullet$  Pertanto se in dato momento uno ione ha una velocità u, dopo un certo numero di collisioni avrà una velocità u' la cui direzione interseca uniformemente una sfera centrata sulla posizione dello ione
- Per semplificare la trattazione possiamo supporre che questa condizione si verifichi dopo ogni urto
  - Non sarebbe necessario ma la trattazione sarebbe più complicata
  - In pratica stiamo supponendo che le particelle siano sfere rigide

- $\bullet$  Supponiamo adesso di applicare un campo elettrico E uniforme al gas debolmente ionizzato descritto precedentemente
  - $\bullet$  Supponiamo che subito dopo un urto lo ione abbia una velocità  $\mathbf{u}_c$  completamente scorrelata da quella che aveva prima dell'urto
  - ullet Supponiamo che prima dell'urto successivo passi un tempo t
    - ullet In questo tempo il campo elettrico esercita una forza  $e{
      m E}$
    - Al tempo t lo ione avrà una quantità di moto

$$\mathbf{p} = m\mathbf{u}_c + e\mathbf{E}t$$

- Abbiamo visto prima che le velocità di agitazione termica sono molto maggiori della velocità di deriva
  - Possiamo supporre che la variazione di quantità di moto impartita dal campo elettrico non modifichi la probabilità delle interazioni successive
- Se in un istante di tempo arbitrario potessimo esaminare lo stato di tutti gli ioni scopriremmo
  - ullet Che lo ione j ha subito una collisione  $t_j$  secondi prima
  - ullet La sua quantità di moto è  $\mathbf{p}_j = m \mathbf{u}_{jc} + e \mathbf{E} t_j$
  - ullet La velocità  $\mathbf{u}_{jc}$  è in una direzione casuale



Calcoliamo la quantità di moto media degli ioni

$$\overline{\mathbf{p}} = \frac{1}{N} \sum_{j=1}^N \mathbf{p}_j = \frac{1}{N} \sum_{j=1}^N \left( m \mathbf{u}_{jc} + e \mathbf{E} t_j \right)$$
 • Esaminiamo i due termini

- $\frac{1}{N}\sum_{i=1}^N m\mathbf{u}_{jc} \qquad \text{\grave{E} nullo: le velocit\grave{a}} \ \mathbf{u}_{jc} \text{ sono} \\ \text{in tutte le direzioni casualmente}$ • Il primo
- Il secondo

$$\frac{1}{N}\sum_{j=1}^N e\mathbf{E}t_j = e\mathbf{E}\frac{1}{N}\sum_{j=1}^N t_j = e\mathbf{E}\tau \quad \text{Abbiamo definito il tempo} \\ \text{medio fra le collisioni } \tau \quad \tau = \frac{1}{N}\sum_{j=1}^N t_j$$

$$au = rac{1}{N} \sum_{j=1}^N t_j$$

• Tramite la quantità di moto media definiamo la velocità di deriva

$$\overline{\mathbf{p}} = m\overline{\mathbf{v}}_d = e\mathbf{E}\tau$$
  $\overline{\mathbf{v}}_d = \frac{e\tau}{m}\mathbf{E}$ 

- Pertanto in presenza di un campo elettrico gli ioni acquistano una velocità nella direzione del campo e proporzionale al campo stesso
  - ullet Notiamo che è la velocità a essere proporzionale a  ${f E}$ , non l'accelerazione
  - Definiamo infine la mobilità dello ione

$$\mu = \frac{e\tau}{m}$$
  $\overline{\mathbf{v}}_d = \mu \mathbf{E}$   $\left[\mu\right] = \frac{\mathrm{m}^2}{\mathrm{Vs}}$ 

## Medie d'insieme e medie temporali

- Vale la pena fare un'interessante osservazione
  - Il valore medio che abbiamo calcolato è fatto "osservando" tutti gli ioni in un dato istante di tempo
    - Una sorta di "fotografia"
  - Questo tipo di media prende il nome di "media di insieme"
    - L'ipotesi, molto naturale, è che tutti gli ioni abbiano le stesse caratteristiche fisiche
- Sarebbe possibile un altro tipo di media, concettualmente differente
  - Si potrebbe seguire un singolo ione in un grande numero di urti successivi
    - ullet In questo caso il tempo  $t_j$  è l'intervallo di tempo trascorso fra la collisione j e la collisione j+1
  - La media viene fatta sulla "storia" del singolo ione
  - Questo tipo di media prende il nome di "media temporale"
- A priori non è detto che le due medie diano lo stesso risultato
  - I processi statistici (processi stocastici) per i quali le due medie danno lo stesso risultato si chiamano processi ergodici

- Ritorniamo al nostro modello della conduzione
  - Abbiamo trovato che sotto l'effetto del campo elettrico gli ioni si muovono in media nella direzione del campo applicato con una velocità

$$\overline{\mathbf{v}}_{\scriptscriptstyle d} = \frac{e\tau}{m}\mathbf{E}$$

- Prende il nome di velocità di deriva
- Osserviamo che la forza e la velocità sono proporzionali
- Una relazione simile si ha per le forze di attrito durante il moto in un fluido viscoso  $\mathbf{F}_{_{\mathrm{a}}} = -k\mathbf{v}$ 
  - In questo tipo di moto la particella raggiunge una velocità terminale quando la forza di attrito risulta uguale alla forza esterna
    - Ad esempio la velocità terminale di caduta nell'atmosfera
- Nel nostro caso potremmo riscrivere l'equazione come  $e{f E}-{m\over {f v}_d}=0$ 
  - Possiamo pertanto interpretare la velocità di deriva come la velocità terminale di una particella in un fluido viscoso
- L'osservazione fatta è più di una semplice analogia
  - Nel moto descritto lo ione dissipa energia (come vedremo fra poco)

• Richiamiamo la formula per la densità di corrente (diapositiva 362)

$$\mathbf{J} = -en_e \overline{\mathbf{u}}$$

 Riscriviamola utilizzando la formula per la velocità di deriva trovata in precedenza

$$\overline{\mathbf{v}}_{d} = \frac{e\tau}{m}\mathbf{E} = \mu\mathbf{E}$$

- Supponiamo di avere ioni positivi e ioni negativi
  - Le masse, i tempi medi di collisione e le mobilità sono rispettivamente:  $m^+,\,m^-,\,\tau^+,\,\tau^-,\,\mu^+,\,\mu^-$
  - ullet Chiamiamo n la densità (uguale) di ioni (positivi e negativi)
- La densità di corrente è

$$\mathbf{J} = ne\frac{\tau_{+}}{m_{+}}e\mathbf{E} + n\left(-e\right)\frac{\tau_{-}}{m_{-}}\left(-e\right)\mathbf{E}$$

$$\mathbf{J} = ne \bigg( \frac{e \tau_{_+}}{m_{_+}} + \frac{e \tau_{_-}}{m_{_-}} \bigg) \mathbf{E} = ne \big( \mu_{_+} + \mu_{_-} \big) \mathbf{E}$$

• In questo modello la conduttività è

$$\sigma = ne(\mu_{+} + \mu_{-})$$

- ullet Vale la pena sottolineare che le ipotesi essenziali per giungere alla legge di proporzionalità fra la densità di corrente J e il campo elettrico E sono state
  - Densità dei portatori di carica rimane costante
  - Meccanismo dell'urto che fa perdere memoria della direzione della velocità
- Se si verificano queste ipotesi si arriva alla legge di Ohm
  - $\bullet$  Naturalmente il nostro modello non predice il valore del tempo medio fra le collisioni  $\tau$ 
    - ullet Né tantomeno predice se au dipende dalla velocità del portatore di carica
- ullet In generale una teoria per poter predire au è molto complessa
  - Si utilizzano metodi di Meccanica Statistica e Termodinamica
  - Occorre una teoria della struttura della materia
    - Si utilizza la cosiddetta equazione del trasporto
- $\bullet$  Possiamo addirittura dire che una teoria per predire la conduttività di una sostanza è nient'altro che una teoria per predire  $\tau$
- Non faremo altri approfondimenti di questo interessante argomento

# Elettromagnetismo

Prof. Francesco Ragusa Università degli Studi di Milano

Lezione n. 19 - 08.03.2022

Campo all'esterno del filo Forza elettromotrice Batteria ricaricabile